岩石の変形に伴う AE と電磁放射の同時計測とその応用

日大生産工(院) 〇福島 恵太 日大生産工 森 康彦

1. 緒言

AE(アコースティック・エミッション)とは, 固体 材料に局部的な変形や割れの進展が生じた際に放出 される弾性波である. 応力負荷によりき裂や欠陥が 進展を開始すると, それが AE 源となり表面観察では 検出できない材料内部の変化を AE により評価でき る. 一方, 強誘電体材料である岩石が変形や破壊す るとき, AE に伴って電磁放射 (electromagnetic emission, EME) が観察されることが知られている. 電磁放射はき裂面上での電荷の再配分により発生す る. すなわち, き裂の新たな生成に伴ってのみ発生 することが明かにされてきている. そこで本研究で は、これらの現象を変形や破壊挙動の解明手段に応 用するために, 岩石の圧縮変形試験と繰返し荷重試 験を実施し、その際に AE と電磁放射の同時計測を行 い,電磁放射の現象と破壊との関係を検討し,さら に岩石の応力履歴の推定法としての応用を提案しよ うとするものである.

2. 実験方法

岩石試験片は稲田花崗岩の断面 15×15 mm², 高さ60 mm の角柱を用いた. 試験片は、Fig.1(a)に示すように、円形の厚紙を試験片の上下端面に取り付けた. これは、圧縮変形試験で試験片に均一な荷重を与えるとともに、鋼製圧縮冶具との接触による雑音を抑制するためでもある. 電磁放射(EME)の計測は、同図(b)のように、導電性接着剤を塗布することで試験片の側面に対向する一対の電極(A-A)を形成し、この電磁間に生じる電位変化として検出した. 検出された EME 信号は、超低雑音増幅器で 20dB 増幅した後、さらに 40dB 増幅した. AE 計測は、AE 変換子一つを試験片の側面中央に接着剤で取り付けて 40dB 増幅した. 増幅された EME と AE 信号は AE 計

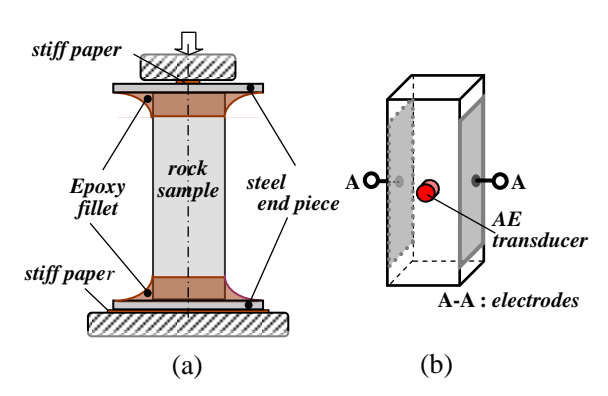


Fig. 1 Sample assembly: (a) setup for uniaxial loading and (b) arrangement of AE transducer, electrodes for EME detection, and strain gages.

測装置に入力し、波形記録方式で解析した. 同時に, 試験片の試験荷重を計測した. 荷重負荷は変位速度 0.1 mm/min で行い, 圧縮変形試験, 繰り返し荷重試 験共に, 試験片が破壊されるまで圧縮荷重を加えた.

3. 実験結果及び考察

3.1 単調増加圧縮変形試験

圧縮試験で同時に記録されたAE信号とEME信号 波形の例を Fig.2 に示す. この例では,AE信号の発生には EME信号の発生が伴っている. 試料の大きさが小さく AE 波の伝搬距離が短いので,EME信号はAE とほぼ同時に観察されるが EME はほぼ光速で伝わるので,弾性波の速度で伝搬する AE よりも早く検出される.

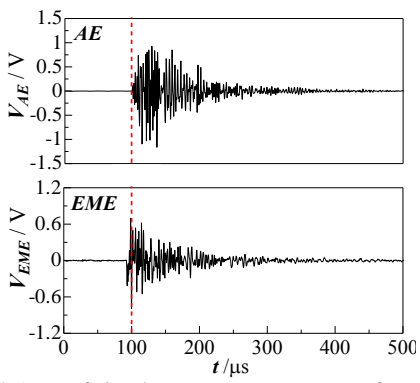


Fig. 2 A set of simultaneous measurement of EME and AE signals recorded in the compression test of Inada granite sample.

次に, $\operatorname{Fig.3(a)}$ に圧縮試験の経過時間 t に対する, 荷重 P と AE, EME の累積事象数 N_{AE} , N_{EME} の変化を 示した. AE の発生は荷重の増加が直線的な変化から ずれはじめる約500秒のあたりから顕著に始まり, その後連続的に増加していく. そして, EME の発生 も AE と同じ発生状況を示している. このような AE と EME の発生挙動は、圧縮試験におけるひずみ計測 との考察から, 試料の体積が圧縮荷重による収縮か ら圧縮軸に垂直な方向に膨張して微視的破壊が生じ て AE が発生し、EME は引張型の微視割れの発生に 伴って放射される、というこれまでの報告をよく再 現している. 次に, Fig.3 (b),(c) から明らかなように, 試験時間の経過とともに、すなわち試験片の体積ひ ずみの増加とともに、より大きな振幅を持つ AE と EME信号が発生するようになる.計測されたEME事 象は例外なく AE の発生を伴っていた. Fig.4 は、そ の AE と EME の信号振幅 V_{AEp} と V_{EMEp} の関係を調 べた結果である. これより, EME と AE の信号振幅 には正の相関が明らかにあることが認められる. す なわち、AE で評価されるき裂の寸法が大きいほど、 大きな振幅の EME 信号が発生すると言える.

Application of Simultaneous Measurement of Acoustic and Electromagnetic Emission from Rock Sample under Deformation
Keita FUKUSHIMA and Yasuhiko MORI

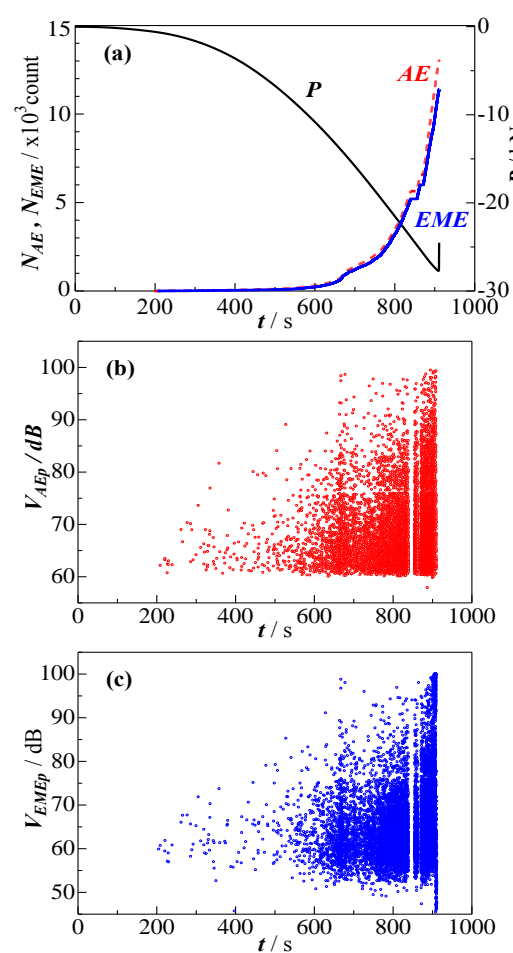


Fig. 3 Result of simultaneous measurement of AE and EME signals during compression test of Inada granite sample.

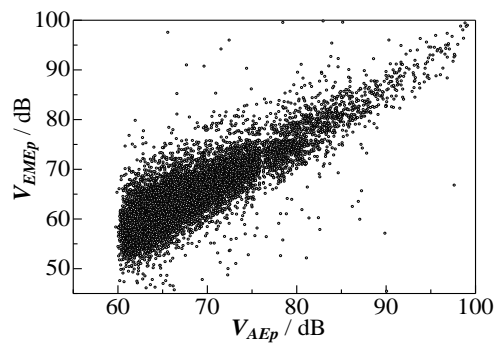


Fig. 4 Relationship between EME and AE signal amplitude.

3.2 繰り返し荷重試験

繰り返し荷重試験の結果を Fig.5 に示す. 試験は負荷応力曲線のに示した工程#0 から#6 で示すように,負荷-徐荷-再負荷の繰返しを,最大圧縮応力を11MPa(破壊応力の約 14%)ずつ増しながら試験片が破壊するまで行った. AE は圧縮荷重が増加する過程だけでなく,工程#3 から#5 の除荷の過程でも発生している. これに対して EME は,#4,#5 を除いては,除荷中に発生していない. 除荷の過程で発生する AE は先行する負荷荷重によって試験片中に生じた微小き裂の表面同士の衝突や摩擦によって発生する雑音であることが明らかにされている. 従って EME は新

たにき裂が生成される時だけに発生することを物語っている.

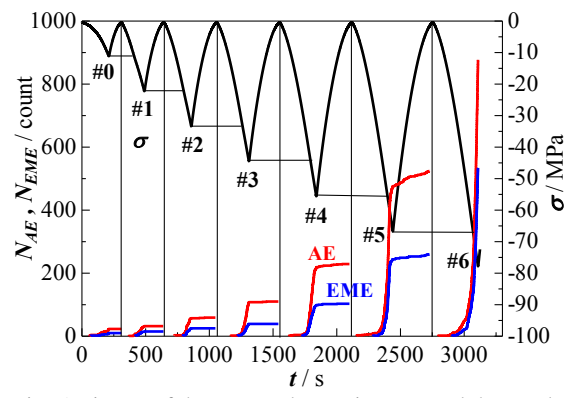


Fig. 5 History of the repeated stressing test and the result of simultaneous measurement of EME and AE signal.

次に Fig.5 で整理された各負荷の工程について, 圧 縮応力が増加する過程で AE が急増し始める応力を σ_{AE} , また、最初に観察される EME の発生応力を σ_{EME} として、それぞれの負荷工程における予応力を 推定してみた. その結果を, 予応力 σ_{pre} に対して Fig.6 に、試験片の圧縮強さ σ で正規化して整理した。この 試験の結果, AE と EME による予応力の推定をみる とAEとEMEの予応力の推定をみてみると破壊応力 78MPa の約 30%までの範囲で、およそ 2%の誤差内 で AE と EME ともに予応力が推定できる. しかし, 予応力がそれ以上にとなると、AEと EME の両者と も予応力の推定は過小評価となる. ここで注意すべ きは、計測されるAEはき裂に伴うものばかりでなく き裂の開閉による摩擦の雑音も含まれている.一方, EME は、新たにき裂が生成されることによってのみ 発生するものである. したがって、予応力の推定に は EME の計測が直接的であるといえる.

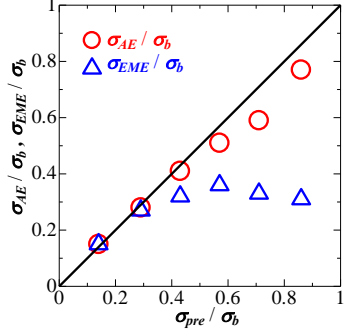


Fig. 6 Plots of estimated stresses σ_{EME} and σ_{AE} as a function of the pre-stress σ_{pre} .

4. 結言

本研究の結果は以下のように要約される.

- (1) 荷重の増加とともに,より大きな振幅を持つ AE と EME が発生する.
- (2) AE と EME の信号振幅には正の相関があり、き 裂の寸法が大きいほど大きな振幅の EME の事象 となる.
- (3) EME はき裂が生じるときにだけ発生すると結論 される.
- (4) 予応力の推定法に EME 計測が応用できる.